

Оптимизация подачи сернистого натрия в коллективном цикле флотации медно-молибденовых руд на обогатительной фабрике ГОКа "ЭРДЭНЭТ"

Давааням С. Дэлгэрбат Л. Лхагва Ж.
Кокорин А.М., Мухин Д.В., Смирнов А.О.(Россия)

Основным назначением подачи сернистого натрия в коллективном цикле флотации на обогатительной фабрике ГОКа "ЭРДЭНЭТ" является сульфидизация окисленных медных минералов: малахита, азурита, брошлитта, куприта и др. Системы оптимальной дозировки сульфидатора по параметрам ионного состава основаны на Ag₂S-электроде [1,2] или минеральных электродах [3,4]. Обоснованно теоретически и практически показано, что условия оптимизации подачи сульфидатора соблюдаются при поддержании постоянного электрохимического потенциала Ag₂S-электрода в точке подачи реагента на уровне -600 мВ (по отношению к пасынкенному хлорсеребряному электроду сравнения) независимо от типа перерабатываемой руды.

Внедренная в 80-х годах система оптимального управления дозировкой сульфидатора на обогатительной фабрике ГОКа "ЭРДЭНЭТ" [4] показала эффективность ее работы и эксплуатировалась при переработке руд с содержанием окисленных минералов меди 5-10% относительных. В настоящее время в значительной степени отработана зона окисленных и вторичных руд и перерабатываются в основном руды с содержанием окисленных форм медных минералов 2-5%.

В связи с этим изменилось функциональное назначение подачи сернистого натрия в коллективном цикле флотации. Теперь сернистый натрий используется, по видимому, для нейтрализации относительно растворимых соединений меди и дезактивации поверхности пирита, природно активированного ионами меди.

Физико-химическая модель управления подачей сернистого натрия основана на уравнении:



$$K_p = \frac{[\text{OH}^-]^2}{[\text{S}^{2-}]} \quad (2)$$

$$\lg[\text{S}^{2-}] = -28 + 2\text{pH} - \lg K_p \quad (3)$$

$$\lg K_p = \frac{-\Delta G^\circ}{1.364} \quad (4)$$

$$\lg[\text{S}^{2-}] = -45.26 + 2\text{pH} \quad (5)$$

Учитывая теоретическую электролитную функцию сульфида серебряного электрода по отношению к сульфидопам:

$$E_{\text{Ag}_2\text{S}} = -848 - 29.5 \lg[\text{S}^{2-}] \quad (6)$$

Уравнение для модели управления имеет вид:

$$E_{Ag2S} = 487 - 59pH \quad (7)$$

Графически уравнение (7) представлено на рис.1 (линия 1)

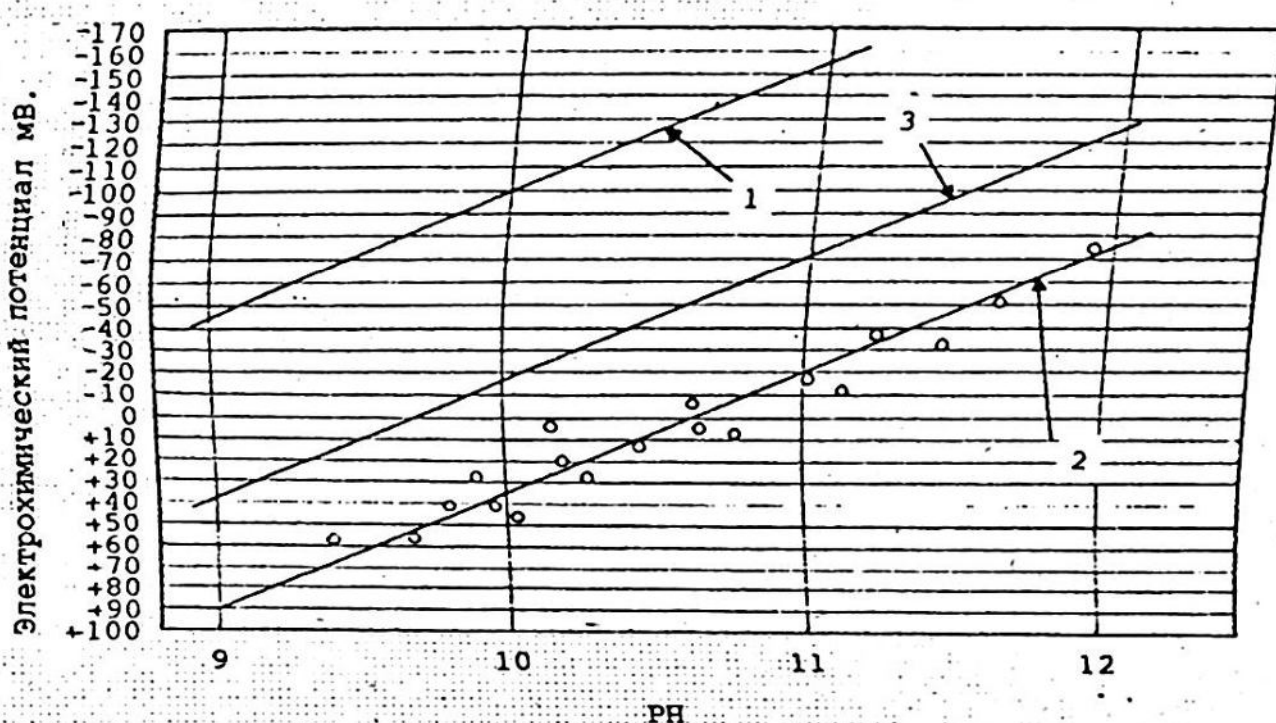


РИС.1 Зависимость электрохимического потенциала от pH

Для области pH=9-11 необходимо поддерживать $\lg[S^{2-}] = -27 + -23$. Промышленная эксплуатация сульфидсеребряных электродов показала, что такие низкие концентрации сульфид ионов не могут быть надежно измерены с их помощью. Поэтому были получены возможности использования других электродных датчиков. Многочисленные измерения электрохимических потенциалов платинового электрода в различных точках технологической схемы промышленного процесса показали наличие устойчивой зависимости Eh-pH, представленной на рисунке 1 (линия 2). Было также показано, что смещение зависимости Eh-pH в отрицательную область на 50 мВ., по оси ординат за счет дозировки сернистого натрия обеспечивает выполнение условий оптимальной подачи реагента по модели. (1). Таким образом для реализации на промышленном процессе была принята зависимость (8):

$$pS = 540 - 55 pH \quad (8)$$

(рис.1, линия 3), которая определила функциональную структуру системы оптимального управления подачей сернистого царпя (рис.2).

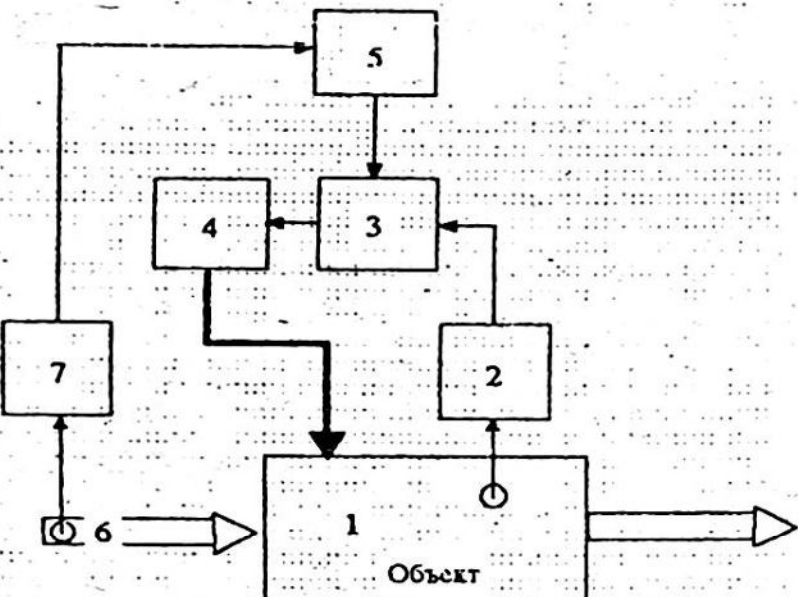


Рис. 2 Структурная схема управления.

Основной контур стабилизации включает датчик электро-химического потенциала (1), измерительный блок (2), ПИ-регулятор (3), дозатор сернистого натрия (4). Задающий контур формирует оптимальное значение стабилизируемой величины электро-химического потенциала в функциональном блоке (5) в зависимости от величины pH пульпы, измеряемом датчиком (6) и измерительным блоком (7). Представленная на рисунке 2 блок-схема управления внедрена в трех точках технологической схемы: в операции пульпо-подготовки (агитчан) перед основной флотацией, в контрольной флотации и в промпродуктовом цикле.

В качестве электро-химических датчиков и измерительных блоков использована серия аппаратура Гомельского завода (Белоруссия). Стабильное регулирование выполняено на ТВСО (терминал вычислительный связи с объектом). Модель управления реализована на СМ-1210.

Качество работы систем оптимального управления оценивается по параметру ΔpS , который представляет собой разность между фактическим значением (pS_f),фиксированным датчиком, и расчетным (pS_p).

$$pS_p = 540 - 55 \text{ pH}$$

$$\Delta pS = pS_f - pS_p = pS_f - 540 + 55 \text{ pH}$$

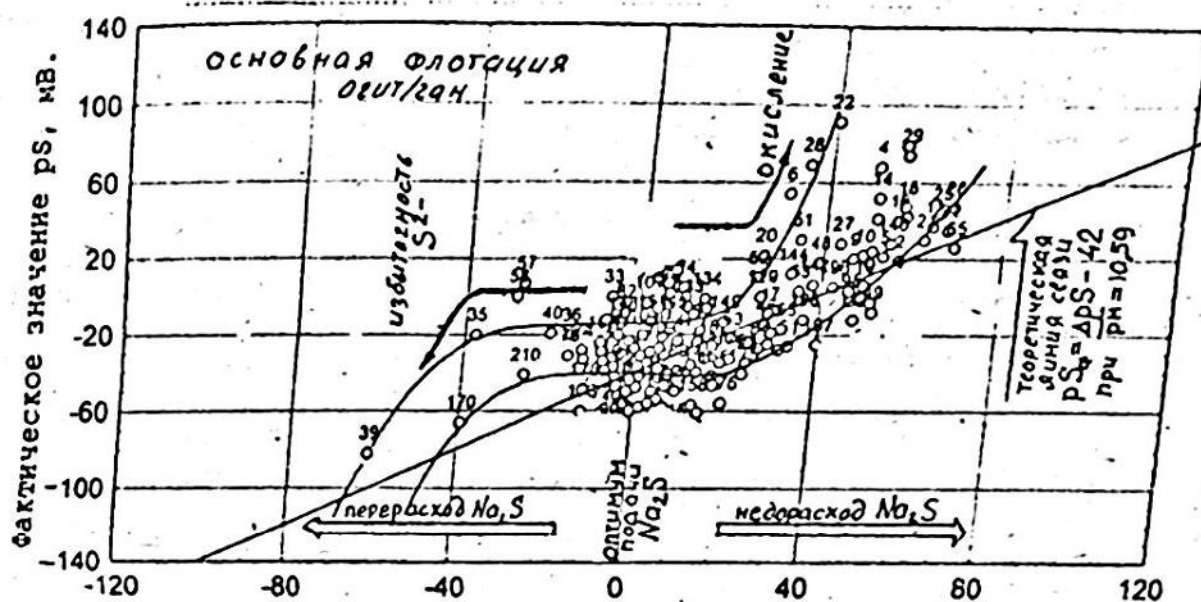
откуда:

$$pS_f = \Delta pS + 540 - 55 \text{ pH}$$

При среднем значении pH = 10.59 в агитчане, зафиксированном при сборе статистического массива, зависимость $pS_f - \Delta pS$ представляет из себя расчетную линию

$$pS_f = \Delta pS - 42$$

Однако экспериментальные точки существенно отличаются от этой линии (рис.3) из-за присутствия в пульпе минеральных частиц и протекания гетерогенных реакций.



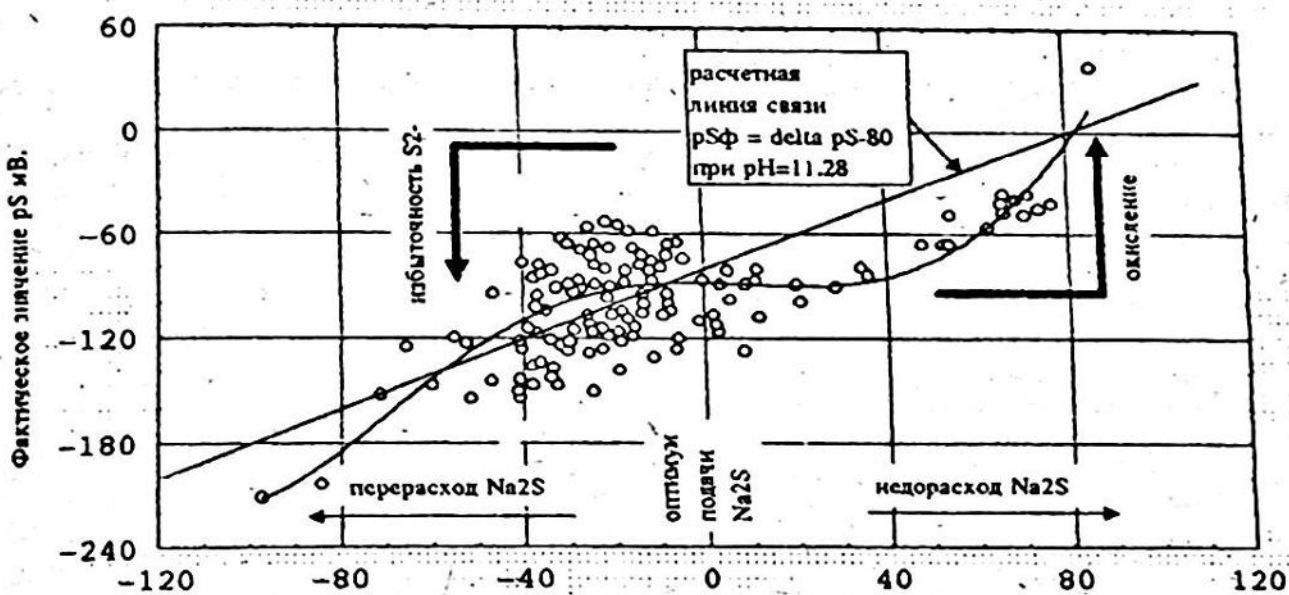
величина отклонения фактического значения pS_f от заданного $pS_{z,p}$ = 540 – 55 pH,

$$\Delta pS = pS_f - (540 - 55 \text{ pH})$$

РИС.3 Зависимость pS – ΔpS в основной флотации.

Можно наблюдать область стабильных значений pH около оптимума подачи сернистого натрия, при $\Delta pS = 0 + 20$ мВ. При недорасходе сернистого натрия наблюдается смещение точек в область более положительных потенциалов pS_f из-за усиления процессов окисления в пульпе. При перерасходе сернистого натрия в пульпе появляются избыточные сульфид-ионы и точки наблюдений смещаются в область более отрицательных значений потенциалов pS_f . Аналогичная картина наблюдается в промпродуктовом цикле рис.4.

$$pS = -88.632 - 0.041 \cdot x - 0.007 \cdot x^2 + 0 \cdot x^3 + 9.24e-7 \cdot x^4 - 7.934e-9 \cdot x^5 + \text{eps}(\Delta pS)$$



$$\Delta pS = pS_f - (540 - 55 \text{ pH})$$

величина отклонения фактического значения (pS_f) от заданного ($pS_{z,p}$) мВ

РИС.4 Зависимость pS – ΔpS в промпродуктовой флотации.

При соблюдении условий оптимизации подачи сернистого натрия наблюдается более стабильная картина поддержания pS .

Поддержание на процессе оптимальных условий подачи сернистого натрия во всех операциях обеспечивает лучшее пенобразование во флотомашинах, предопределяет достижение лучших технологических показателей.

На рис.5 представлены зависимости показаний датчиков выхода пенного продукта от ΔpS в основной флотации (рис.5). Аналогичная картина наблюдается для контрольной флотации.

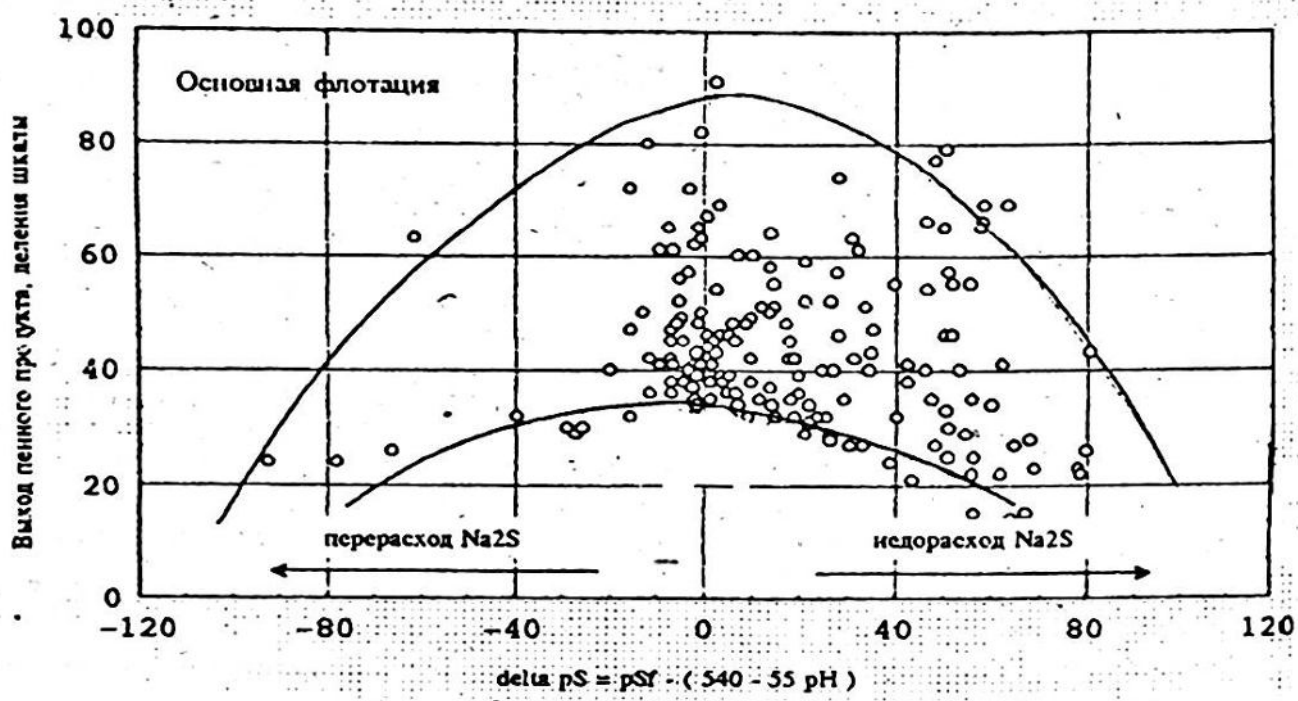


РИС.5 Зависимость выхода пенного продукта от ΔpS в основной флотации.

На рисунке 6 представлена зависимость потерь меди в хвостах основной операции при различных содержаниях меди в руде. Минимум потерь соответствует условиям оптимальной дозировки сернистого натрия ($\Delta pS=0$).

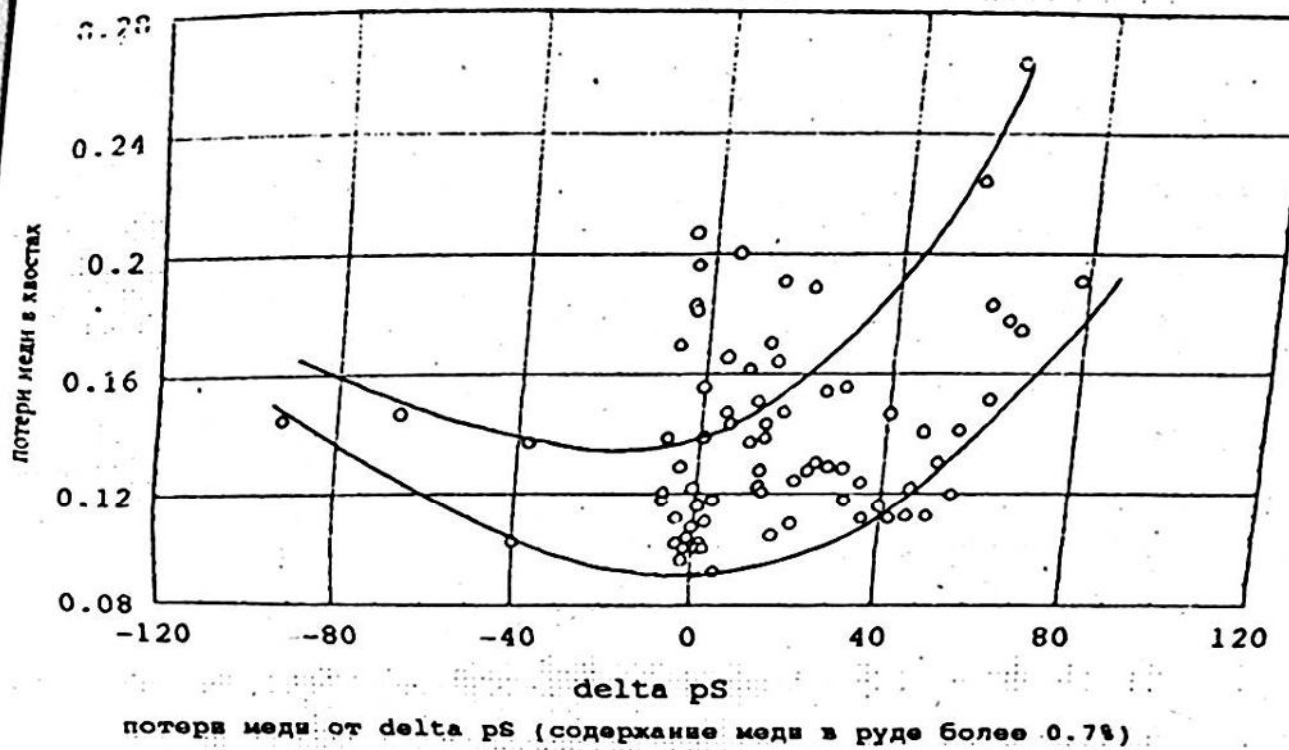


РИС.6а

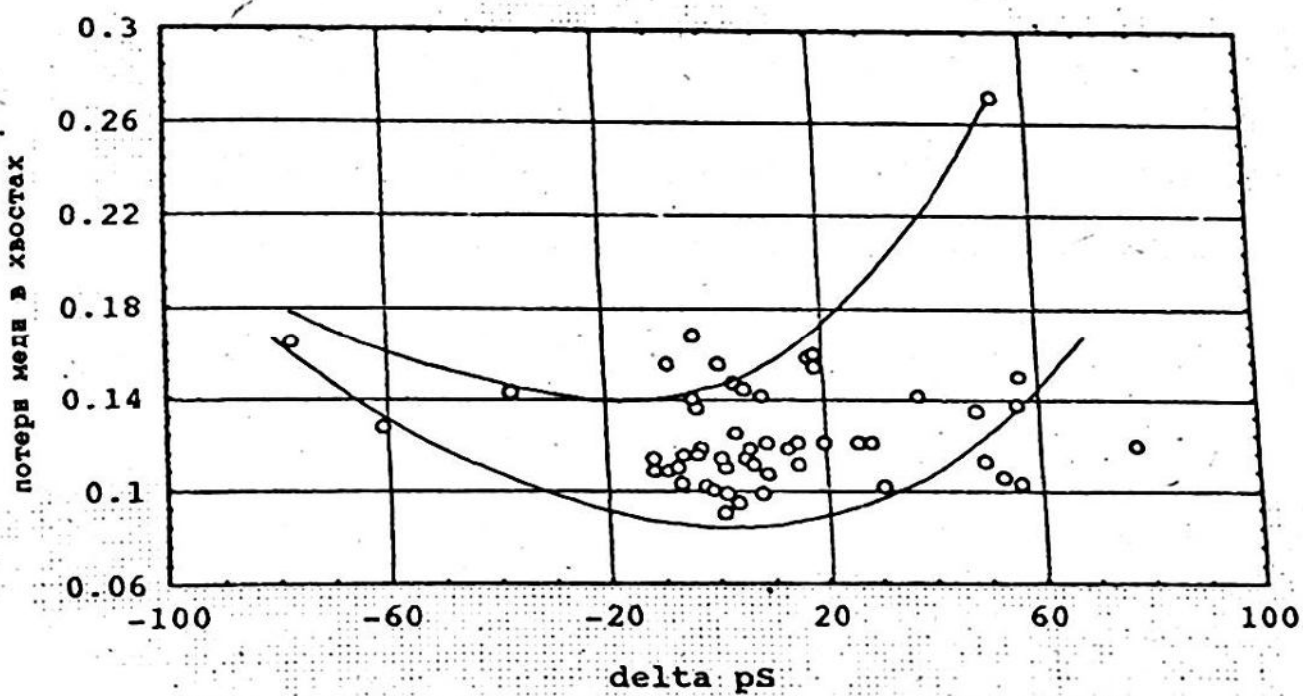


РИС.6б

Представляет интерес. анализ зависимости между величинами электрохимического потенциала в точке подачи сернистого натрия (pS) и в камере флотомашины основной

фотомашин (Eh) для различных типов перерабатываемого сырья. При типизации выделено 6 подгрупп:

Три класса легкообогащаемых сульфидных руд -

- рядовые (группы 1-3)
- первичные (группа 6)
- вторичные (группа 8)

Три класса труднообогащаемых пиритистых руд -

- сильноокисленные (группа 2)
- неокисленные (группа 4)
- с промежуточной степенью окисления (группа 5)

На всех типах руд наблюдается высокая корреляция между параметрами pS - Eh на уровне 0.75 - 0.95. Более низкий коэффициент соответствует пиритистым рудам. Линейные и нелинейные связи между параметрами представлены на рисунках (7а) и (7б).

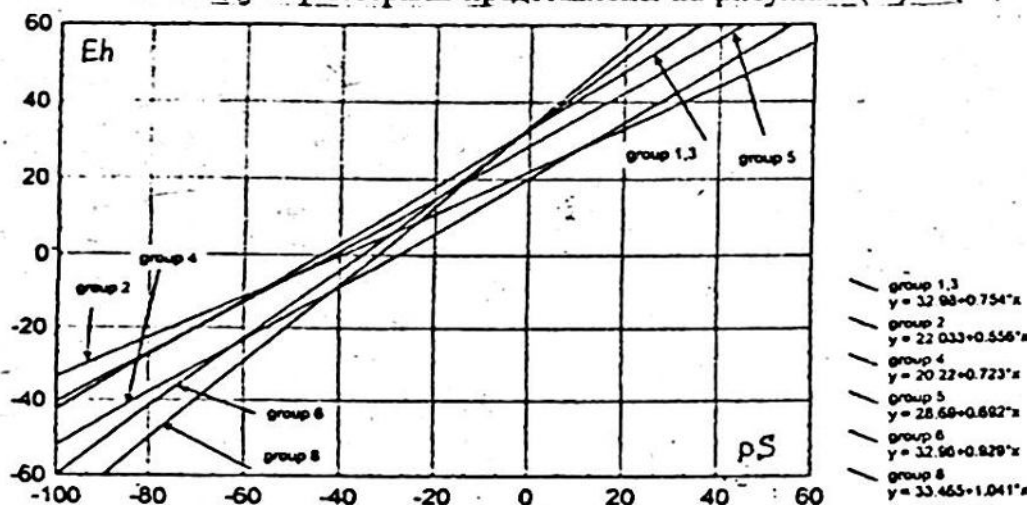


РИС.7а Зависимость Eh от pS на разных типах руд (линейная)

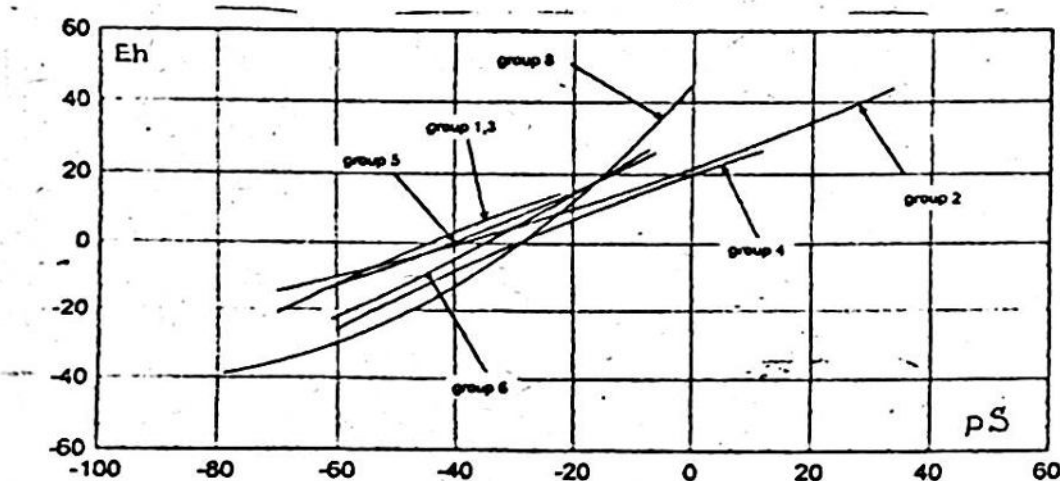


РИС.7б Зависимость Eh от pS на разных типах руд (нелинейная)

Тангенс угла наклона θ зависимости Eh - pS для различных типов руд изменяется в пределах от 0.5 до 1.0. Последний соответствует сульфидным рудам и подтверждает, что оба датчика (в агитаторе и во флотомашине) контролируют один процесс, связанный с нейтрализацией

водорастворимых медных соединений и процессами сульфидизации, для групп окисленных пиритовых руд тангенс угла наклона $\theta \approx 0.5$, что подтверждает влияние на датчик $E_{\text{p}}^{\text{окислительной Red-Ox}}$ системы, обусловленной, по нашему мнению, присутствием в жидкой фазе флотационной пульпы гидроксокомплексов железа.

Зависимости расхода сернистого натрия от величины pS на различных типах руд представлены на рисунке 8.

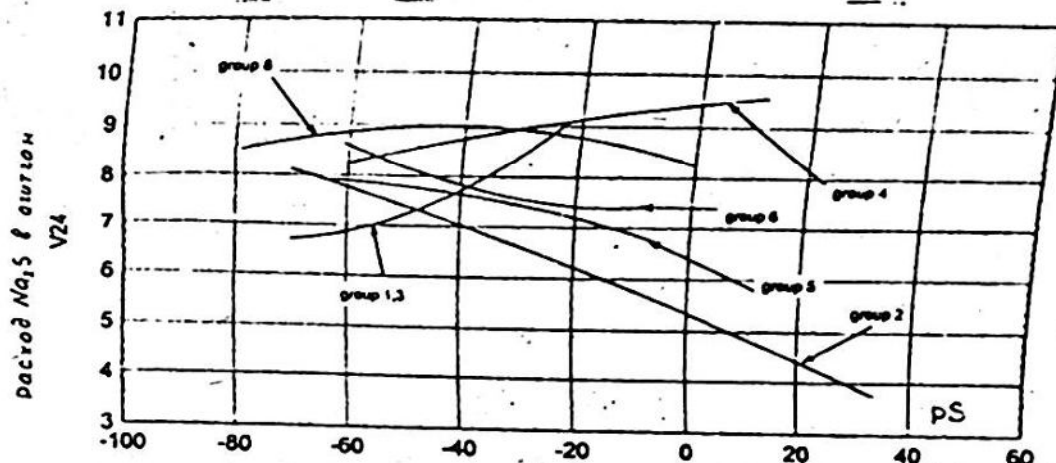


РИС.8 Зависимость расхода сернистого натрия от pS на разных типа руд.

Расход сернистого натрия на сульфидных рудах меняется слабо при изменении pS , но существенно меняется на окисленных рудах, жидкая фаза пульпы которых содержит гидроксокомплексные соединения железа. На окисленных пиритовых разношерстностях комплексные соединения железа препятствуют взаимодействию поверхности минеральных частиц с сульфидизатором. Поэтому на этих подтипах зафиксирован более низкий расход сернистого натрия и величина электрохимического потенциала в агитчане более четко коррелирует с расходом реагента. При разрушении гидроксокомплексов железа при высоком значении величины pH резко возрастает расход сернистого натрия (рис.9). Кривые расхода сернистого натрия - pS смещаются в область расходов реагента, зафиксированную на сульфидных рудах (рис.8).

Зависимость расхода сернистого натрия от параметров руды и технологического процесса исследована методом главных компонент. Исследованные параметры приведены в таблице 1.

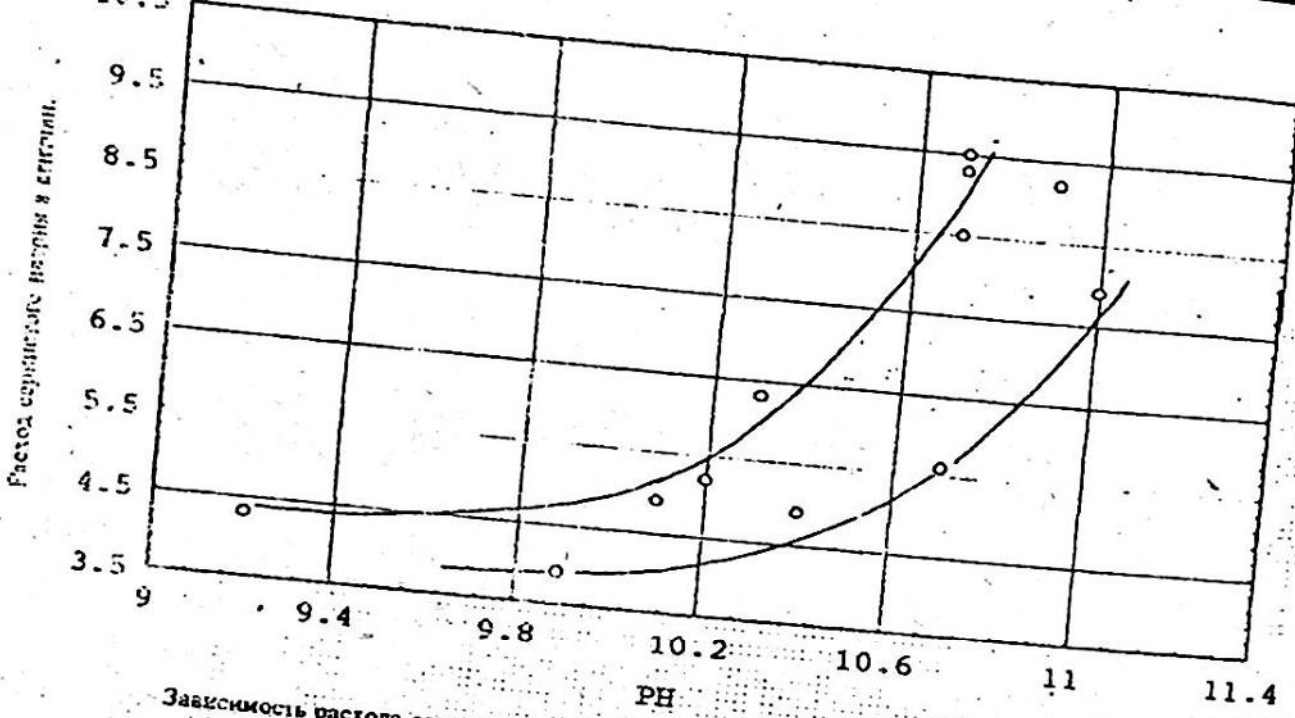


РИС. 9

ТАБЛИЦА 1.

Номер параметра по статистическому массиву	Изменяющиеся параметры и их статистическая оценка.	Условные обозначения	Среднее значение	СКО	Вар-дн
V ₅₂	Наименование параметра	G	563	46.8	8.3
V ₅₀	Переработка руды, т/ч	α_{Cu}	0.685	.078	11.4
V ₆₁	Содержание меди в руде, %	α_{Fe}	3.17	0.59	18.5
V ₆₂	Содержание железа в руде, %	pH	10.6	0.45	4.2
V ₆₃	Величина pH пульпы	B	2.84	0.78	27.5
V ₆₄	Отношение содержания Fe/Cu в концентрате основной флотации	ΔEh	-3	20.4	809
V ₆₅	Окислительный потенциал пульпы до флотации, мВ.	X	1.7	1.24	72.9
V ₆₆	Расход ксантогената, л/мин	L	38.5	12.3	32
V ₆₇	Выход полного продукта с флотомашиной, дсл.	Δp_{Cu}	1.0E -5	33	3.3E +8
V ₆₈	Электрохимический потенциал пульпы в штампе, мВ	q	7.84	1.81	23.1

Корреляционная матрица представлена в таблице 2.

ТАБЛИЦА 2.

Параметр	G	α_{Cu}	α_{Fe}	pH	B	ΔEh	X	L	Δp_{Cu}	q
G	1	-0.1	0.13	-0.13	-0.1	0.08	-0.15	0.01	-0.02	0.13
α_{Cu}		1	0.11	-0.03	-0.04	-0.03	0.06	-0.06	0.01	0.12
α_{Fe}			1	-0.01	0.26	0.1	-0.09	0.25	0.1	0.07
pH				1	0.12	-0.78	0	0.18	-0.69	0.29
B					1	-0.09	0.13	0.23	-0.07	0.27
ΔEh						1	-0.1	-0.1	0.8	-0.28
X							1	-0.21	-0.01	-0.01
L								1	0.1	0.12
Δp_{Cu}									1	-0.08
q										1

За длительный период наблюдений (2 месяца) обнаружены слабые связи расхода сернистого натрия с проанализированными параметрами. Следует обратить внимание на обратную зависимость между расходом сернистого натрия и зависимость между расходом сернистого натрия и pH, создаваемым известью. Традиционно с целью снижения расхода сернистого натрия при сульфидации в технологии дополнительно используется известняк, в данном случае рост pH вызывает повышение расхода сернистого натрия, что связано по видимому с присутствием в жидкой фазе флотационной пульпы гидроксокомплексов железа. Компонентная матрица весов (таблица 3) подтверждает этот вывод.

ТАБЛИЦА 3.

Параметр	Матрица компонентных весов и регрессия U_i на расход сернистого натрия							R^2
	U_1	U_2	U_3	U_4	U_5	U_6	U_7	
G	0.104	0.172	0.498	0.071	0.749	0.333	0.142	0.114
α_{Cu}	7.5E - 3	-0.0243	-0.462	0.796	0.069	0.375	-0.046	0.048
α_{Fe}	8.9E - 2	0.541	-0.177	0.242	0.264	-0.719	0.135	-0.072
pH	-0.559	0.117	0.0326	0.013	-0.066	-0.08	0.064	0.744
β	-0.012	0.493	-0.381	-0.385	0.163	0.276	-0.598	0.049
ΔEh	0.588	-0.0168	-0.58E-2	-0.047	-0.073	-0.022	-0.062	-0.03
X	-0.074	-0.27	-0.59	-0.379	0.387	0.043	0.515	0.099
L	-0.016	0.59	0.0393	-0.065	-0.403	0.382	0.552	-0.173
Δp_{Cu}	0.563	7.31E - 3	-0.104	-0.061	-0.127	0.013	0.152	0.618
q	-0.269	0.243	0.086	0.0405	0.139	0.165	-0.062	0.276
								-0.204

Наиболее значимая компонента U_1 отвечает за вариацию pH и электрохимический потенциал исходной пульпы. С ростом pH уменьшается значение U_1 (нагрузка во pH -0.55) и увеличивается расход сернистого натрия (коэффициент регрессии U_1 на q -0.21).

Компонента U_2 идентифицируется как фактор пиритности (положительные нагрузки α_{Fe} и β), который увеличивает расход сернистого натрия (коэффициент регрессии U_2 на q 0.24).

Компонента U_4 фактор сульфидности непосредственно связан с q , при повышении сульфидности снижается расход сернистого натрия. На дозировка сернистого натрия оказывает также влияние компонента U_5 (фактор переработки). Компонента естественно имеет положительную регрессию на q .

ЗАКЛЮЧЕНИЕ

Разработана и внедрена система оптимального управления дозировкой сернистого натрия по электрохимическому потенциальному в коллективном цикле при флотации медно-молибденовых руд. В основу разработки положена физико-химическая модель, описывающая нейтрализацию растворимых соединений меди и дезактивацию природно активированного ширита. Система обеспечивает лучший режим пенообразования и минимальные потери металлов в хвостах во всех операциях коллективного цикла.

Литература.

1. Jones M.N., Woodcock J.T. Optimization and control of laboratory sulphidization of oxidized copper ores with an ion-selective electrode.-Proc. Australias. Inst. mining Metallurgy, 1978, N 206, June, pp. 11-19.
2. Papua-New Guinea-Engng. Mining J., 1983, vol. 184, N3, p. 166 I.
3. Шоршер Г.И., Машевский Г.Н., Горловский С.И. Изучение особенностей действия сульфидизатора при флотации окисленных свинцово-медных руд.-Обогащение руд. 1976, №2, с. 23-28.
4. Машевский Г.Н., Штабов Ю.В. Оптимизация подачи сульфидизатора при флотации медно-молибденовых руд на предприятии Эрдэнэт, Обогащение руд, 1985, N 6, с.14-18.